



Министерство науки и высшего образования Российской Федерации
Федеральное государственное бюджетное образовательное учреждение
высшего образования
«Московский государственный технический университет
имени Н.Э. Баумана
(национальный исследовательский университет)»
(МГТУ им. Н.Э. Баумана)

ФАКУЛЬТЕТ «Информатика и системы управления»

КАФЕДРА «Программное обеспечение ЭВМ и информационные технологии»

О Т Ч Е Т

по лабораторной работе № 0 4

Дисциплина: *Моделирование*

Студент

ИУ7И-66Б

(Группа)

Нгуен Ф. С.

(Подпись, дата)

(И.О. Фамилия)

Преподаватель

Градов В. М.

(Подпись, дата)

(И.О. Фамилия)

Москва, 2021

Цель работы : Получение навыков разработки алгоритмов решения смешанной краевой задачи при реализации моделей, построенных на квазилинейном уравнении параболического типа.

Исходные данные.

1. Задана математическая модель.

Уравнение для функции $T(x, t)$

$$c(T) \frac{\partial T}{\partial t} = \frac{\partial}{\partial x} \left(k(T) \frac{\partial T}{\partial x} \right) - \frac{2}{R} \alpha(x) T + \frac{2T_0}{R} \alpha(x) \quad (1)$$

Краевые условия

$$\left\{ \begin{array}{l} t = 0, T(x, 0) = T_0 \\ x = 0, -k(T(0)) \frac{\partial T}{\partial x} = F_0 \\ x = l, -k(T(l)) \frac{\partial T}{\partial x} = \alpha_N (T(l) - T_0) \end{array} \right\} \quad (2)$$

В обозначениях уравнения (14.1) лекции №14

$$p(x) = \frac{2}{R} \alpha(x), f(u) \equiv f(x) = \frac{2T_0}{R} \alpha(x) \quad (3)$$

2. Разностная схема с разностным краевым условием при $x = 0$ получена в Лекции может быть использована в данной работе.

Разностная схема:

$$A_n y_{n-1}^\wedge - B_n y_n^\wedge + D_n y_{n+1}^\wedge = -F_n, 1 \leq n \leq N-1 \quad (4)$$

$$A_n = X_{n-\frac{1}{2}}^\wedge \frac{\tau}{h} \quad (5)$$

$$B_n = A_n + D_n + c_n h + p_n h \tau \quad (6)$$

$$D_n = X_{n+\frac{1}{2}}^\wedge \frac{\tau}{h} \quad (7)$$

$$F_n = f_n \tau h + c_n y_n h \quad (8)$$

Разностные аналоги краевых условий при $x=0$:

$$\begin{aligned} & \left(\frac{h}{8} c_{\frac{1}{2}}^\wedge + \frac{h}{4} c_0^\wedge + X_{\frac{1}{2}}^\wedge \frac{\tau}{h} + \frac{\tau h}{8} p_{\frac{1}{2}} + \frac{\tau h}{4} p_0 \right) y_0^\wedge + \left(\frac{h}{8} c_{\frac{1}{2}}^\wedge - X_{\frac{1}{2}}^\wedge \frac{\tau}{h} + \frac{\tau h}{8} p_{\frac{1}{2}} \right) y_1^\wedge = \\ & = \frac{h}{8} c_{\frac{1}{2}}^\wedge (y_0 + y_1) + \frac{h}{4} c_0^\wedge y_0 + F \tau + \frac{\tau h}{4} \left(f_{\frac{1}{2}}^\wedge + c_0^\wedge \right) \end{aligned} \quad (9)$$

Самостоятельно надо получить интегро-интерполяционным методом разностный аналог краевого условия при $x = l$. Для этого надо проинтегрировать на отрезке $[xN-1/2, xN]$ выписанное выше уравнение (1) и учесть, что поток

$$F_N = \alpha_N (y_N^\wedge - T_0) \quad (10)$$

$$F_{N-\frac{1}{2}} = X_{N-\frac{1}{2}}^\wedge \frac{y_{N-1}^\wedge - y_N^\wedge}{h} \quad (11)$$

3. Значения параметров для отладки (все размерности согласованы)

$$k(T) = a_1(b_1 + c_1 T^{m_1}), \quad \text{Вт/см K},$$

$$c(T) = a_2 + b_2 T^{m_2} - \frac{c_2}{T^2}, \quad \text{Дж/см}^3\text{K}.$$

$$a_1=0.0134, \quad b_1=1, \quad c_1=4.35 \cdot 10^{-4}, \quad m_1=1,$$

$$a_2=2.049, \quad b_2=0.563 \cdot 10^{-3}, \quad c_2=0.528 \cdot 10^5, \quad m_2=1.$$

$$\alpha(x) = \frac{c}{x-d},$$

$$\alpha_0=0.05 \text{ Вт/см}^2 \text{ K},$$

$$\alpha_N=0.01 \text{ Вт/см}^2 \text{ K},$$

$$l = 10 \text{ см},$$

$$T_0=300\text{K},$$

$$R=0.5 \text{ см},$$

$$F(t)=50 \text{ Вт/см}^2 \text{ (для отладки принять постоянным).}$$

4. Физическое содержание задачи

Постановки задач в данной лабораторной работе и работе №3 во многом совпадают. Отличия заключаются в следующем:

1. Сформулированная в данной работе математическая модель описывает нестационарное температурное поле $T(x, t)$, зависящее от координаты x и меняющееся во времени.

2. Свойства материала стержня привязаны к температуре, т.е. теплоемкость и коэффициент теплопроводности $c(T)$, $k(T)$ зависят от T .

3. При $x = 0$ цилиндр нагружается тепловым потоком $F(t)$, в общем случае зависящим от времени.

Если в настоящей работе задать поток постоянным, т.е. $F(t)=\text{const}$, то будет происходить формирование температурного поля от начальной температуры T_0 до некоторого установившегося (стационарного) распределения $T(x, t)$. Это поле в дальнейшем с течением времени меняться не будет. Это полезный факт для тестирования программы.

Если после разогрева стержня положить поток $F(t)=0$, то будет происходить остывание, пока температура не выровняется по всей длине и не станет равной T_0 .

При произвольной зависимости потока $F(t)$ от времени температурное поле будет как-то сложным образом отслеживать поток.

Замечание. Варьируя параметры задачи, следует обращать внимание на то, что решения, в которых температура превышает примерно 2000K, физического смысла не имеют и практического интереса не представляют.

5. Разностная схема

$$\begin{cases} \hat{K}_0 \hat{y}_0 + \hat{M}_0 \hat{y}_1 = \hat{P}_0 \\ \hat{A}_n \hat{y}_{n-1} - \hat{B}_n \hat{y}_n + \hat{D}_n \hat{y}_{n+1} = -\hat{F}_n, & 1 \leq n \leq N-1 \\ \hat{K}_N \hat{y}_N + \hat{M}_N \hat{y}_{N-1} = \hat{P}_N \end{cases} \quad (12)$$

Где

$$\hat{A}_n = \hat{\chi}_{n-\frac{1}{2}} \frac{\tau}{h}$$

$$\hat{D}_n = \hat{\chi}_{n+\frac{1}{2}} \frac{\tau}{h}$$

$$\hat{B}_n = \hat{A}_n + \hat{D}_n + \hat{c}_n h + p_n h \tau$$

$$\hat{F}_n = f_n h \tau + \hat{c}_n y_n h$$

Для величин $\hat{\chi}_{n\pm\frac{1}{2}}$ можно получить различные приближенные выражения, численно вычисляя интеграл методом трапеций

$$\hat{\chi}_{n\pm\frac{1}{2}} = \frac{2\hat{k}_n \hat{k}_{n\pm 1}}{\hat{k}_n + \hat{k}_{n\pm 1}} \quad (13)$$

6. Краевые условия

Обозначим

$$F = -k(T) \frac{\partial T}{\partial x} \quad (14)$$

$$p(x) = \frac{2}{R} \alpha(x)$$

$$f(u) \equiv f(x) = \frac{2T_0}{R} \alpha(x)$$

Разностные аналоги краевых условий при $x = 0$

$$\begin{aligned} & \left(\frac{h}{8} \hat{c}_{\frac{1}{2}} + \frac{h}{4} \hat{c}_0 + \hat{\chi}_{\frac{1}{2}} \frac{\tau}{h} + \frac{\tau h}{8} p_{\frac{1}{2}} + \frac{\tau h}{4} p_0 \right) \hat{y}_0 + \left(\frac{h}{8} \hat{c}_{\frac{1}{2}} - \hat{\chi}_{\frac{1}{2}} \frac{\tau}{h} + \frac{\tau h}{8} p_{\frac{1}{2}} \right) \hat{y}_1 \\ & = \frac{h}{8} \hat{c}_{\frac{1}{2}} (y_0 + y_1) + \frac{h}{4} \hat{c}_0 y_0 + \hat{F} \tau + \frac{\tau h}{4} (\hat{f}_{\frac{1}{2}} + \hat{f}_0) \end{aligned}$$

Тогда

$$\begin{cases} \hat{K}_0 = \frac{h}{8} \hat{c}_{\frac{1}{2}} + \frac{h}{4} \hat{c}_0 + \hat{\chi}_{\frac{1}{2}} \frac{\tau}{h} + \frac{\tau h}{8} p_{\frac{1}{2}} + \frac{\tau h}{4} p_0 \\ \hat{M}_0 = \frac{h}{8} \hat{c}_{\frac{1}{2}} - \hat{\chi}_{\frac{1}{2}} \frac{\tau}{h} + \frac{\tau h}{8} p_{\frac{1}{2}} \\ \hat{P}_0 = \frac{h}{8} \hat{c}_{\frac{1}{2}} (y_0 + y_1) + \frac{h}{4} \hat{c}_0 y_0 + \hat{F} \tau + \frac{\tau h}{4} (\hat{f}_{\frac{1}{2}} + \hat{f}_0) \end{cases}$$

Разностный аналог краевого условия при $x = l$

Проинтегрируем уравнение (1) на отрезке $[x_{N-\frac{1}{2}}, x_N]$ и на временном интервале $[t_m, t_{m+1}]$

$$\int_{X_{N-\frac{1}{2}}}^{X_N} dx \int_{t_m}^{t_{m+1}} c(T) \frac{\partial T}{\partial t} dt = - \int_{t_m}^{t_{m+1}} dt \int_{X_{N-\frac{1}{2}}}^{X_N} \frac{\partial F}{\partial x} dx - \int_{X_{N-\frac{1}{2}}}^{X_N} dx \int_{t_m}^{t_{m+1}} p(x) T dt + \int_{X_{N-\frac{1}{2}}}^{X_N} dx \int_{t_m}^{t_{m+1}} f(T) dt$$

при вычислении внутренних интегралов по справа в уравнении применен метод правых прямоугольников

$$\int_{X_{N-\frac{1}{2}}}^{X_N} \hat{c}(\hat{T} - T) dx = - \int_{t_m}^{t_{m+1}} (F_N - F_{N-\frac{1}{2}}) dt - \int_{X_{N-\frac{1}{2}}}^{X_N} p \hat{T} \tau dx + \int_{X_{N-\frac{1}{2}}}^{X_N} \hat{f} \tau dx$$

Интегралы по x в вычислим методом средних, а первый интеграл в правой части (по времени) - по-прежнему, методом правых прямоугольников, получим

$$\begin{aligned} \frac{h}{4} \left[\hat{c}_N (\hat{y}_N - y_N) + \hat{c}_{N-\frac{1}{2}} (\hat{y}_{N-\frac{1}{2}} - y_{N-\frac{1}{2}}) \right] \\ = -\tau (\hat{F}_N - \hat{F}_{N-\frac{1}{2}}) - \tau \frac{h}{4} (p_N \hat{y}_N + p_{N-\frac{1}{2}} \hat{y}_{N-\frac{1}{2}}) + \tau \frac{h}{4} (\hat{f}_N + \hat{f}_{N-\frac{1}{2}}) \end{aligned}$$

Подставим в полученное уравнение

$$\begin{aligned} \hat{y}_{N-\frac{1}{2}} &= \frac{\hat{y}_N + \hat{y}_{N-1}}{2} \\ y_{N-\frac{1}{2}} &= \frac{y_N + y_{N-1}}{2} \\ \hat{F}_N &= \alpha_N (\hat{y}_N - T_0) \\ \hat{F}_{N-\frac{1}{2}} &= \hat{\chi}_{N-\frac{1}{2}} \frac{\hat{y}_{N-1} - \hat{y}_N}{h} \end{aligned}$$

Получим

$$\begin{aligned} \left(\frac{h}{8} \hat{c}_{N-\frac{1}{2}} - \frac{\tau}{h} \hat{\chi}_{N-\frac{1}{2}} + \frac{\tau h}{8} p_{N-\frac{1}{2}} \right) \hat{y}_{N-1} + \left(\frac{h}{4} \hat{c}_N + \frac{h}{8} \hat{c}_{N-\frac{1}{2}} + \tau \alpha_N + \frac{\tau}{h} \hat{\chi}_{N-\frac{1}{2}} + \frac{\tau h}{4} p_N + \frac{\tau h}{8} p_{N-\frac{1}{2}} \right) \hat{y}_N \\ = \frac{h}{4} \hat{c}_N y_N + \frac{h}{8} \hat{c}_{N-\frac{1}{2}} y_N + \frac{h}{8} \hat{c}_{N-\frac{1}{2}} y_{N-1} + \tau \alpha_N T_0 + \frac{\tau h}{4} (\hat{f}_N + \hat{f}_{N-\frac{1}{2}}) \end{aligned}$$

Тогда

$$\left\{ \begin{aligned} \hat{K}_N &= \frac{h}{4} \hat{c}_N + \frac{h}{8} \hat{c}_{N-\frac{1}{2}} + \tau \alpha_N + \frac{\tau}{h} \hat{\chi}_{N-\frac{1}{2}} + \frac{\tau h}{4} p_N + \frac{\tau h}{8} p_{N-\frac{1}{2}} \\ \hat{M}_N &= \frac{h}{8} \hat{c}_{N-\frac{1}{2}} - \frac{\tau}{h} \hat{\chi}_{N-\frac{1}{2}} + \frac{\tau h}{8} p_{N-\frac{1}{2}} \\ \hat{P}_N &= \frac{h}{4} \hat{c}_N y_N + \frac{h}{8} \hat{c}_{N-\frac{1}{2}} y_N + \frac{h}{8} \hat{c}_{N-\frac{1}{2}} y_{N-1} + \tau \alpha_N T_0 + \frac{\tau h}{4} (\hat{f}_N + \hat{f}_{N-\frac{1}{2}}) \end{aligned} \right.$$

7. Метод простых итераций

Для решения разностной системы используется метод простых итераций. Обозначим текущую итерацию s , а предыдущую $s-1$, тогда процесс организуется по схеме

$$\begin{cases} K_0^{s-1}y_0 + M_0^{s-1}y_1 = P_0^{s-1} \\ A_n^{s-1}y_{n-1}^s - B_n^{s-1}y_n^s + D_n^{s-1}y_{n+1}^s = -F_n^{s-1} \\ K_N^{s-1}y_N + M_N^{s-1}y_{N-1} = P_N^{s-1} \end{cases}$$

Все коэффициенты берутся на $(s-1)$ -ой итерации, т.е. они известны. Получили обычную линейную схему, решение которой осуществляется методом прогонки, показанным ниже.

Итерации прекращаются при условии

$$\max \left| \frac{y_n^s - y_n^{s-1}}{y_n^s} \right| \leq \varepsilon, \text{ для всех } n = 0, 1, \dots, N$$

8. Метод прогонки

Прямой ход : предполагаем, что система уравнений имеет вид

$$A_i y_{i-1} + B_i y_i + C_i y_{i+1} = D_i, \quad i = 0..N$$

Все прогоночные коэффициенты можно найти по формулам

$$\begin{cases} \xi_1 = -\frac{K_0}{M_0} \\ \xi_{i+1} = \frac{-C_i}{A_i \xi_i + B_i}, \quad i = 1..N-1 \end{cases}$$

и

$$\begin{cases} \eta_1 = \frac{P_0}{M_0} \\ \eta_{i+1} = \frac{D_i - A_i \eta_i}{A_i \xi_i + B_i}, \quad i = 1..N-1 \end{cases}$$

Обратный ход :

Находим начальное значение x_N

$$y_N = \frac{D_N - A_N \eta_N}{A_N \xi_N + B_N} = \frac{P_N - K_N \eta_N}{K_N \xi_N + M_N}$$

Остальные значения находятся по формуле

$$y_i = \xi_{i+1} y_{i+1} + \eta_{i+1}$$

Код программы

```
import numpy as np
import math
import matplotlib.pyplot as plt
from matplotlib import cm
from mpl_toolkits import mplot3d

#constants
a1 = 0.0134
b1 = 1
c1 = 4.35e-4
m1 = 1
a2 = 2.049
b2 = 0.563e-3
c2 = 0.528e5
m2 = 1

alpha0 = 0.05
alphaN = 0.01
l = 10
d = alphaN * l / (alphaN - alpha0)
cc = -alpha0 * d

T0 = 300
R = 0.5
Ft = 50
eps1 = 10e-4
eps2 = 10e-4

def plot2d(x, y, xlabel, ylabel, title):
    plt.plot(x, y, 'c')
    plt.xlabel(xlabel)
    plt.ylabel(ylabel)
    plt.title(title)
    plt.grid(True)
    plt.show()

def plot3d(x, y, z):
    fig = plt.figure()
    ax = plt.axes(projection='3d')
    ax.plot_surface(x, y, z, rstride=1, cstride=1, cmap='viridis',
edgecolor='none')
    #ax.set_title("")
    fig.show()
    plt.show()

#ax[n-1]+bx[n]+cx[n+1]=d
def tridiagonal_method(a, b, c, d):
    n = len(a) - 1;
    xi = [None for i in range(n+1)]
    xi[1] = -c[0]/b[0]
    eta = [None for i in range(n+1)]
    eta[1] = d[0]/b[0]
    for i in range(1, n):
```

```

        xi[i+1] = -c[i]/(a[i]*xi[i]+b[i])
        eta[i+1] = (d[i]-a[i]*eta[i])/(a[i]*xi[i]+b[i])

    res = [None for i in range(n+1)]
    res[n] = (d[n]-a[n]*eta[n])/(a[n]*xi[n]+b[n])
    for i in range(n-1, -1, -1):
        res[i] = xi[i+1]*res[i+1]+eta[i+1]
    return res

def k(T):
    return a1 * (b1 + c1 * T**m1)

def c(T):
    return a2 + b2 * T**m2 - c2 / T**2

def alpha(x):
    return cc / (x - d)

def p(x):
    return 2/R * alpha(x)

#f(T) = f(x)
def f(x):
    return 2*T0/R * alpha(x)

def solve_equation_system(old_T, prev_T_by_time, tau, N):
    _a = []
    _b = []
    _d = []
    _f = []
    h = 1 / N

    def cal_plus_half(func, start, end):
        return (func(start) + func(end)) / 2

    def c_(n):
        return c(old_T[n])

    def c_plus(n):
        return cal_plus_half(c, old_T[n], old_T[n+1])

    def chi_plus(n):
        return cal_plus_half(k, old_T[n], old_T[n+1])

    def p_plus(n):
        return (p(n) + p(n+h)) / 2

    def f_plus(n):
        return (f(n) + f(n+h)) / 2

    def p_(n):
        return p(h*n)

```



```

def f_(n):
    return f(h*n)

#the left boundary condition x = 0
_a.append(0)
_b.append(h/8*c_plus(0)
        + h/4*c_(0)
        + tau/h*chi_plus(0)
        + tau*h/8*p_plus(0)
        + tau*h/4*p_(0))
_d.append(h/8*c_plus(0)
        - tau/h*chi_plus(0)
        + tau*h/8*p_plus(0))
_f.append(h/8*c_plus(0)*(prev_T_by_time[0]+prev_T_by_time[1])
        + h/4*c_(0)*prev_T_by_time[0]
        + tau*Ft
        + tau*h/4*(f_plus(0) + f(0)))

#1 <= n <= N-1
for i in range(1, N):
    _a.append(tau/h*chi_plus(i-1))
    _d.append(tau/h*chi_plus(i))
    _b.append(-(_a[-1] + _d[-1] + c_(i)*h + p_(i)*h*tau))
    _f.append(-(f_(i)*h*tau + c_(i)*prev_T_by_time[i]*h))

#the right boudary condition x = 1
_a.append(h/8*c_plus(N-1)
        - tau/h*chi_plus(N-1)
        + tau*h/8*p_plus(N-1))
_b.append(h/4*c_(N)
        + h/8*c_plus(N-1)
        + tau*alphaN
        + tau/h*chi_plus(N-1)
        + tau*h/4*p_(N)
        + tau*h/8*p_plus(N-1))
_d.append(0)
_f.append(h/4*c_(N)*prev_T_by_time[N]
        + h/8*c_plus(N-1)*prev_T_by_time[N]
        + h/8*c_plus(N-1)*prev_T_by_time[N-1]
        + tau*alphaN*T0
        + tau*h/4*(f_(N)+f_plus(N-1)))

return tridiagonal_method(_a, _b, _d, _f)

def check(res1, res2, eps):
    tmp = 0
    for i in range(len(res2)):
        tmp = max(tmp, math.fabs((res2[i]-res1[i])/res2[i]))
    if tmp <= eps:
        return True
    else:
        return False

#simple iteration metho
def solve(tau, N):

```

```

h = 1 / N
time = 0
old_T = [T0] * (N+1)
new_T = [None] * (N+1)
res = [old_T]
while True:
    old_T = res[-1]
    while True:
        new_T = solve_equation_system(old_T, res[-1], tau, N)
        if check(old_T, new_T, eps1):
            break
        old_T = new_T
    time += tau
    res.append(new_T)
    if check(res[-2], res[-1], eps2):
        break
return res

if __name__ == "__main__":
    tau = 1
    N = 100
    res = np.array(solve(tau, N))

    #3d surface T(x, t)
    x = np.linspace(0, 1, N+1)
    y = np.arange(len(res))
    X, Y = np.meshgrid(x, y)
    Z = res
    plot3d(X, Y, Z)

    #Зависимость температуры от координаты стержня
    x = np.linspace(0, 1, N+1)
    for T in res[:10]:
        plt.plot(x, T)
    plt.xlabel("Длина, см")
    plt.ylabel("Температура, К")
    plt.grid(True)
    plt.show()

    #Зависимость температуры от времени
    t = np.arange(len(res))
    for T in res.transpose()[:10]:
        plt.plot(t, T)
    plt.xlabel("Время, сек")
    plt.ylabel("Температура, К")
    plt.grid(True)
    plt.show()

```

Результат работы

1. Представить разностный аналог краевого условия при $x = l$ и его краткий вывод интегро -интерполяционным методом.

Для получения разностного аналога краевого условия при $x = l$, надо проинтегрировать на отрезке $[x_{N-1/2}, x_N]$ выписанное выше уравнение (1) и учесть (10) и (11)

$$\text{Обозначим } F = -k(T) \frac{\partial T}{\partial x} \quad (15)$$

Тогда (1) можно записать в виде:

$$c(T) \frac{\partial T}{\partial t} = -\frac{\partial F}{\partial x} - p(x)T + f(x) \quad (16)$$

где

$$p(x) = \frac{2}{R} \alpha(x)$$

$$f(x) = \frac{2T_0}{R} * \alpha(x)$$

Проинтегрируем (13):

$$\int_{x_{N-1/2}}^{x_N} dx \int_{t_m}^{t_{m+1}} c(T) \frac{\partial T}{\partial t} dt = - \int_{t_m}^{t_{m+1}} dt \int_{x_{N-1/2}}^{x_N} \frac{\partial F}{\partial x} dx - \int_{x_{N-1/2}}^{x_N} dx \int_{t_m}^{t_{m+1}} p(x)T dt +$$

$$\int_{x_{N-1/2}}^{x_N} dx \int_{t_m}^{t_{m+1}} f(x) dt \quad (14)$$

$$\int_{x_{N-1/2}}^{x_N} c_N^{\wedge} (\hat{T} - T) dx = - \int_{t_m}^{t_{m+1}} \left(F_N - F_{N-1/2} \right) dt - \int_{x_{N-1/2}}^{x_N} p \hat{T} \tau dx + \int_{x_{N-1/2}}^{x_N} \hat{f} \tau dx$$

Вычисляем интегралы

$$\frac{h}{4} \left(c_N^{\wedge} (y_N^{\wedge} - y_N) - c_{N-1/2}^{\wedge} \left(\frac{y_N^{\wedge} + y_{N-1}^{\wedge}}{2} - \frac{y_N + y_{N+1}}{2} \right) \right) =$$

$$= -\tau \left(\alpha_N (y_N^{\wedge} - T_0) - X_N^{\wedge} \frac{y_N^{\wedge} + y_{N-1}^{\wedge}}{h} \right) - \left(p_N y_N^{\wedge} - p_{N-1/2} \frac{y_N^{\wedge} + y_{N-1}^{\wedge}}{2} \right) \frac{\tau h}{4} + \left(\hat{f}_N - \hat{f}_{N-1/2} \right) \frac{\tau h}{4} \quad (17)$$

Приведем к виду $K_N^{\wedge} y_N^{\wedge} + \hat{M}_N y_{N-1}^{\wedge} = \hat{P}_N$. Получим:

$$\left(\frac{h}{4} c_N^{\wedge} + \frac{h}{8} c_{N-1/2}^{\wedge} + \tau \alpha_N + \frac{\tau}{h} X_{N-1/2}^{\wedge} + \frac{h}{4} \tau p_N + \frac{h}{8} \tau p_{N-1/2} \right) y_N^{\wedge} + \left(\frac{h}{8} c_{N-1/2}^{\wedge} - \frac{\tau}{h} X_{N-1/2}^{\wedge} + \frac{h}{8} \tau p_{N-1/2} \right) y_{N-1}^{\wedge} =$$

$$= \alpha_N \tau T_0 + \frac{h}{4} c_N^{\wedge} y_N + \frac{h}{8} c_{N-1/2}^{\wedge} (y_N + y_{N-1}) + \frac{h}{4} \tau \left(\hat{f}_N + \hat{f}_{N-1/2} \right) \quad (16)$$

Для функций c, X, p будет принята простая аппроксимация.

$$p_{N-1/2} = \frac{p_{N-1} + p_N}{2} \quad (18)$$

Из (9) и (16) получим $K_0, M_0, P_0, K_N, M_N, P_N$.

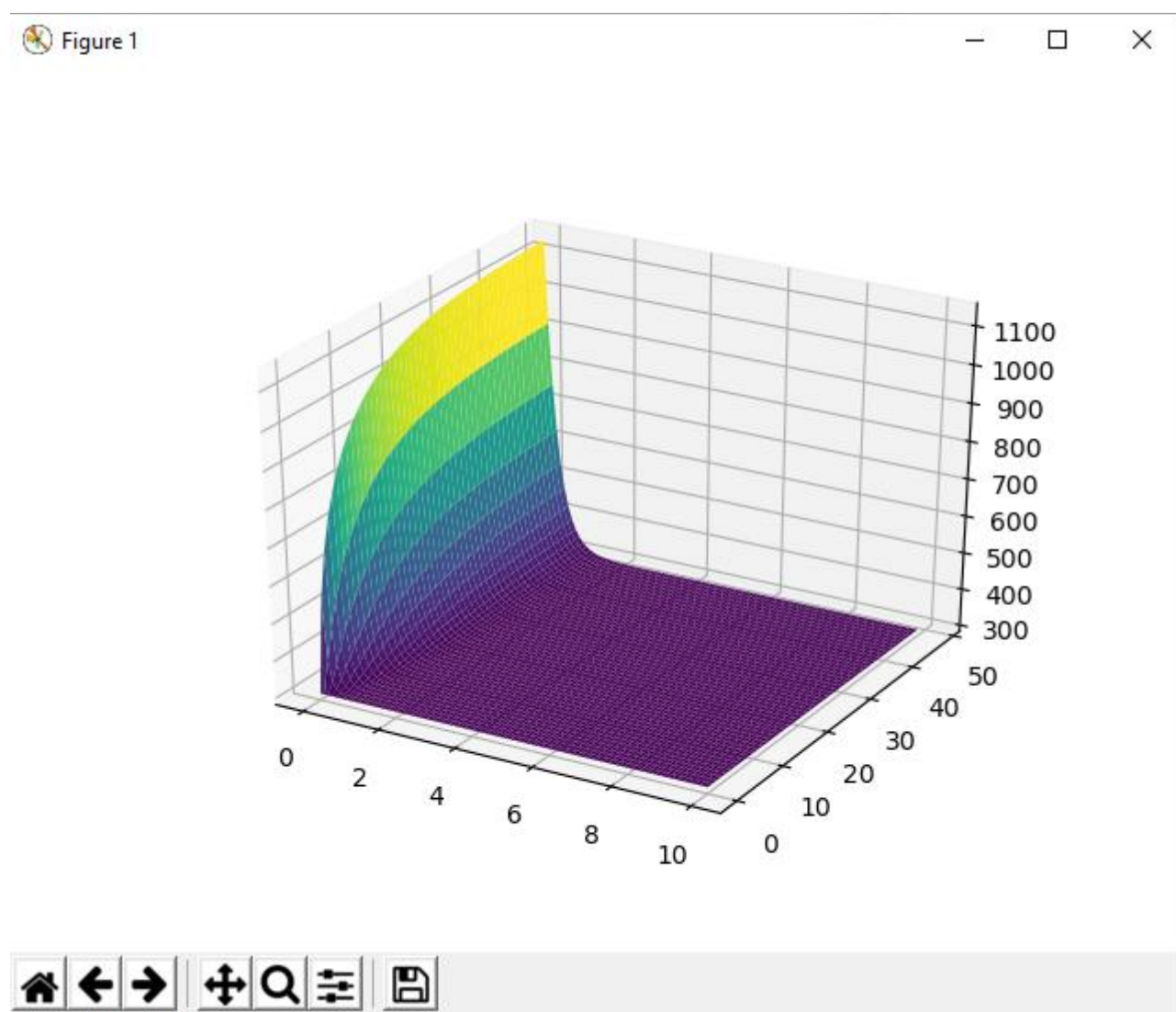
Получим систему:

$$\begin{cases} K_0 \hat{y}_0 + M_0 \hat{y}_1 = P_0 \\ A_n \hat{y}_{n-1} - B_n \hat{y}_n + D_n \hat{y}_{n+1} = -F_n, 1 \leq n \leq N-1 \\ K_N \hat{y}_N + M_{N-1} \hat{y}_{N-1} = P_N \end{cases} \quad (18)$$

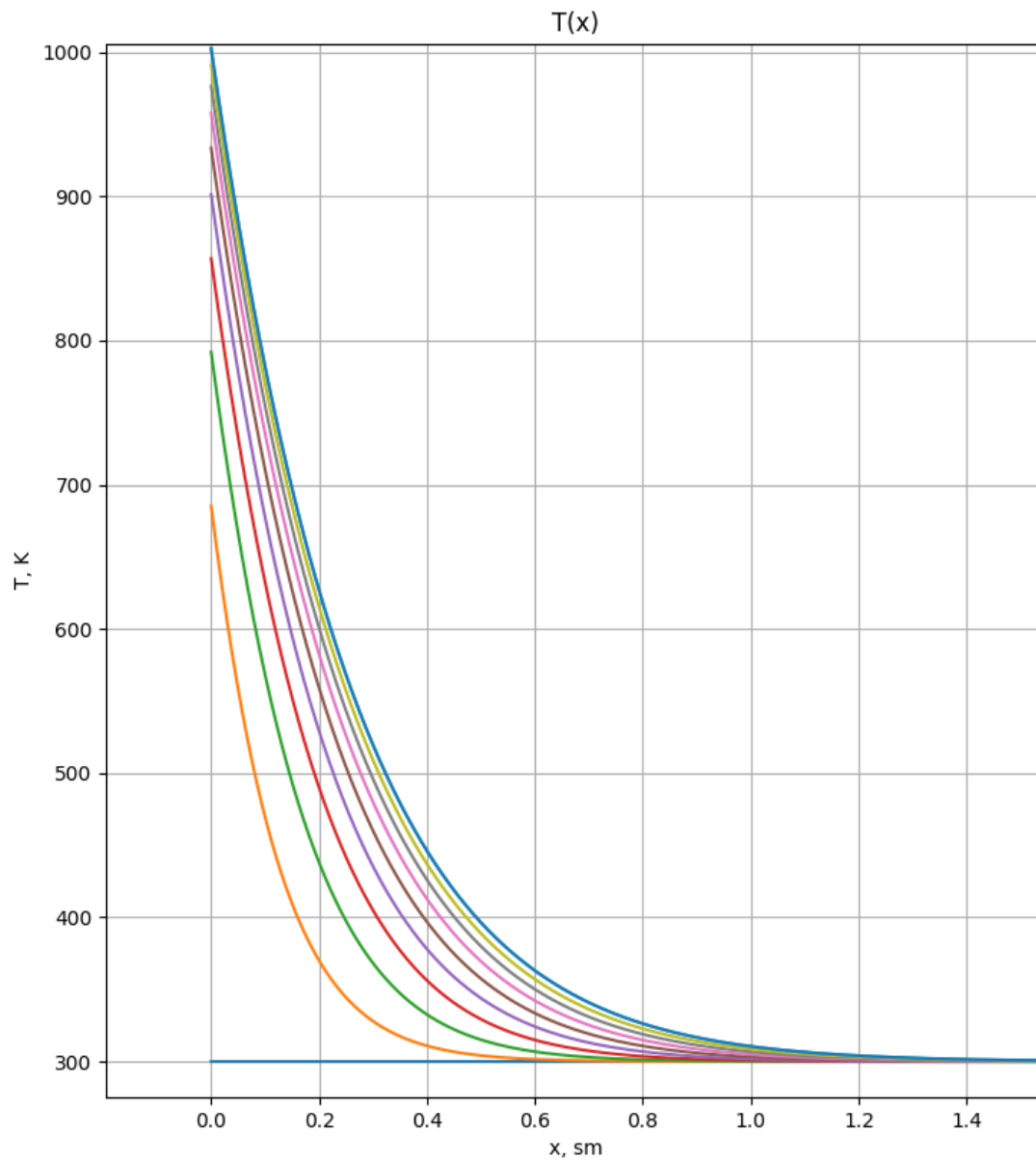
Эту систему можно решить методом итераций. Пусть i — номер итерации

$$A_n^{i-1} y_{n+1}^i - B_n^{i-1} y_n^i + D_n^{i-1} y_{n-1}^i = -F_n^{i-1}$$

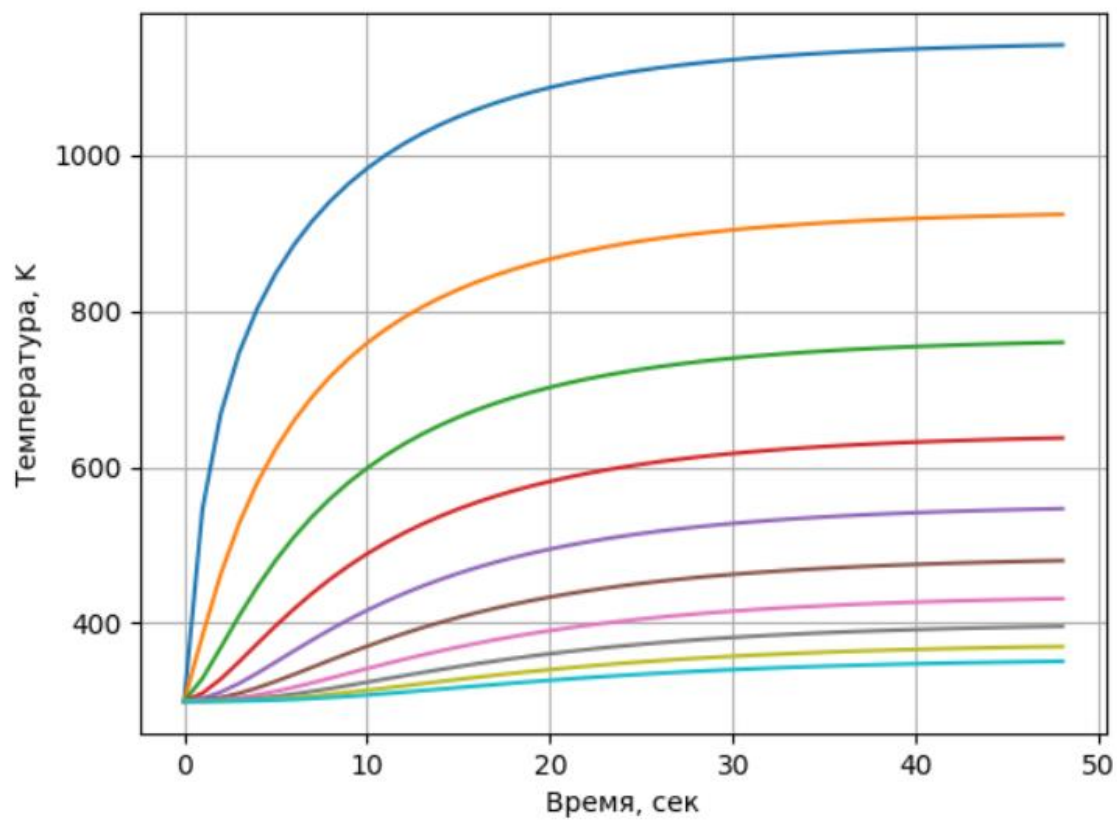
2. График зависимости температуры $T(x, t)$:



3. График зависимости температуры от координаты при нескольких фиксированных значениях времени (аналогично рисунку в лекции) при заданных выше параметрах. Обязательно представить распределение в момент времени, соответствующий установившемуся режиму, когда поле перестает меняться с некоторой точностью (например $\frac{T(t+\tau)-T(t)}{T(t+\tau)} < 10^{-4}$), т.е. имеет место выход на стационарный режим. На этой стадии левая часть дифференциального уравнения близка к нулю



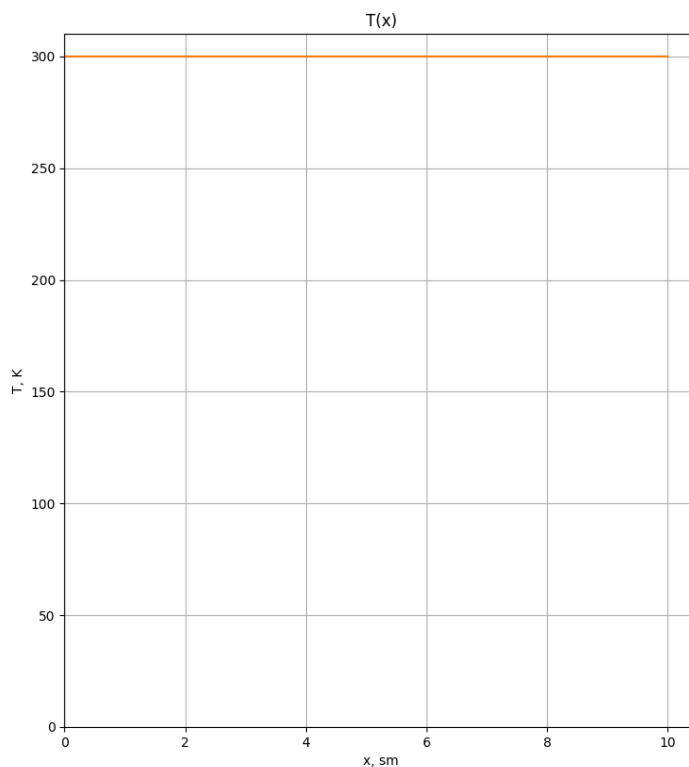
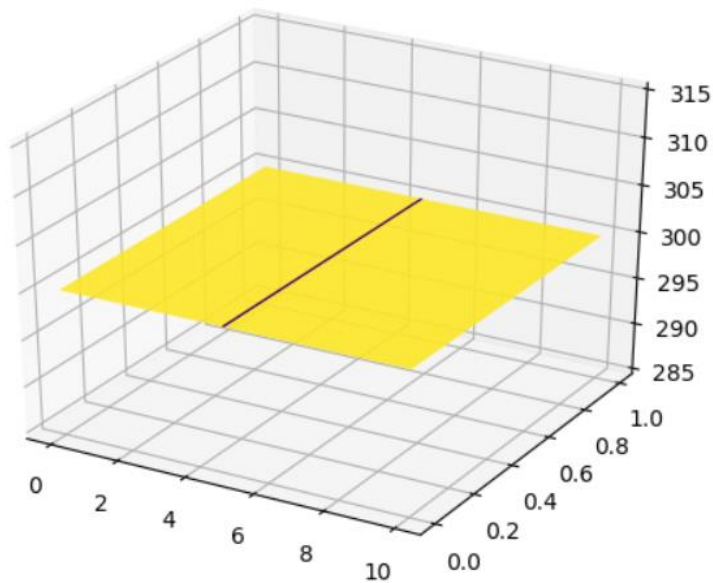
4. График зависимости $T(x_n, t)$ при нескольких фиксированных значениях координаты x_n . Обязательно представить случай $n=0$, т.е $x = x_0 = 0$



Вопросы

1. Приведите результаты тестирования программы (графики, общие соображения, качественный анализ).

Если принять $F_0 = 0$. Тепловое нагружение отсутствует, причин для нагрева нет, температура стержня должна быть равна температуре окружающей среды T_0 .



Если F_0 (тепловой поток) меньше нуля. Это означает, что съем тепла идет слева, поэтому температура будет увеличиваться от 0 до 1

